

V-141 ひび割れ床版の耐用性判定試験例について。

兵庫県土木部 ○原口和夫  
神戸大学工学部 西村昭  
宮本文穂

**1. まえがき** 兵庫県道宮津～八鹿線が円山川を渡る地帯に存在する伊佐橋(昭和4年9月架設)の架換工事において、旧橋のひびわら床版について静的・動的荷重下でのひびわら拳動(含経時変化)およびたわみ拳動を測定し、実橋RC床版の耐用性の有効な判定法の確立を目的として種々検討を試みたので報告する。

**2. 調査概要** 伊佐橋は、左岸寄り3往問が主とし右岸支間30.18mの単純プラットトラス橋で、主から右岸まで連なる架設当初のコンクリートT桁橋は、その後流失などのため、一部がプレートガーダー橋に架換されてしまった。今回の調査対象は、プラットトラス左岸寄り第二連、左岸寄りキーパネルのRC床版で、床版下面には図-1のようにはば全面にわたる亀甲状ひびわらと、多くの盤離石炭の付着がみられた。なお、ひびわら幅測定値の中ひ最大のものは約0.5mmである。測定は、昭和50年8月および昭和51年12月の2回にわたって実施した。載荷用試験車は、砂利満載の総重量14.78t(後輪軸重11.84t、前輪軸重2.94t)のトラック1台である。

静的試験は、ひびわらで囲まれたブロック1,2,3(図-1参照)の上面のアスファルト舗装を約50cm四隅にわたって除去し、各ブロックのほぼ中央部に、図-2に示すようにトラックの片側後輪(約6t)を移動させ、支点反力を変化させることにより任意の荷重を加え得るようにして行った。各荷重段階でのひびわら拳動は、トラックゲージによって図-1に併記(○印)したように12点で検出した。床版の局部たわみは、主桁間に固定した角柱にダイアルゲージを取り付けて測定した。測定は、各ブロックとも橋軸直角方向に供試ブロックを中心とする左右3点とし、計9点とした。動的(下走行)試験は、図-1に示した路面上の30cm間隔の各マーク間を後輪中心が順次通過するよう一定速度(20km/h)で走行させて行った。50年8月のひびわら測定はC-1,2,3,4,5で、これらの中、C-1,3,4は主鉄筋方向ひびわら上に、C-2,5は配筋鉄筋方向ひびわら上に選んだ。51年12月のひびわらおよび局部たわみの測定は静的試験と同様である。上述の諸量の時間的变化は、アンプを通じてラピコーターで記録した。

**3. 調査結果と考察** 図-3は、動的試験で得られたひびわら幅大量 $S_H$ および船直せん断量 $|S_\theta|$ の経時変化を示したものである。図4は、これらの測定値とともに $S_H \sim |S_\theta|$ の関係をプロットしたものである。また、表-1は図4から得られる $|S_\theta|/S_H$ の値を示したものである。これらより以下の諸点が明らかである。  
 ① 1年4ヶ月を隔てた測定結果を比較すると、対応するひびわらの $S_H$ の最大値にはほとんど変化はないが、 $|S_\theta|$ の最大値は2~4倍に増加している。  
 ② 別途行なった室内実験結果は、 $S_H \sim |S_\theta|$ の関係はひびわらの進行に伴って、図-5に示すようにA型からB型への移行を示し、その移行と支配するのは $|S_\theta|/S_H$ の値である。

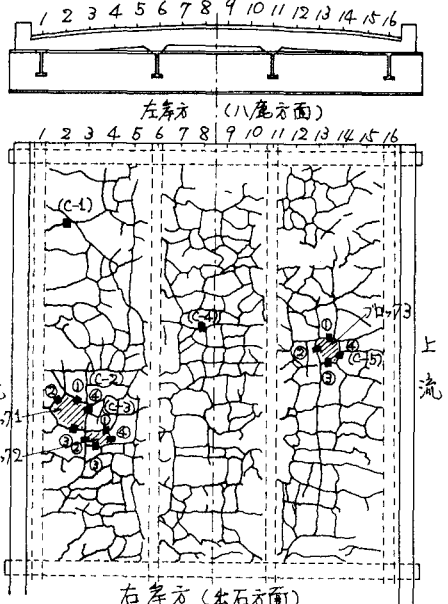


図-1 対象床版のひびわら状況([ ])は昭50.8測定、○は昭51.12測定

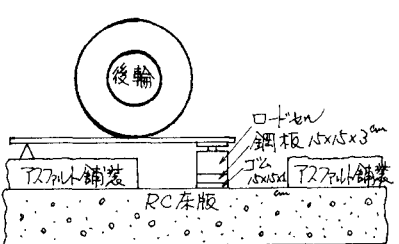


図-2 静的載荷要領

り、その値は約0.5となることを示している。本実験では、プロット3のNo.1のひびわれが0.5を越えている。また、他のプロットのひびわれについても0.5に近いものがあり、全体的に床版のひびわれがかなり進行していることが明らかである。図-6は静的試験で得られたたわみおよび残留たわみと荷重との関係を各プロットについてプロットしたものである。室内実験によると、プロットを囲む4本のひびわれが床版全厚の1/4以上進行すると、最初の荷重段階から残留たわみが存在し、その値は荷重の増加とともに増大する。このことから図-6を考察すると、①プロット1では、P-S線の勾配は他に較べて小さく、また残留たわみもほとんど存在しない。②プロット2のP-S線および残留たわみの勾配は、プロット1, 3の中間の値を示している。③プロット3では、最初の荷重段階から残留たわみが存在し、荷重の増加とともに増大しており、破壊がかなり進行していることが予想される。

#### 文献

①西村他：ひびわれ計の試作とその応用について、第30回年次学術講演概要集。

②北之助：橋梁RC床版の耐用性評定に関する基礎的研究、神戸大学修士論文、1977.3

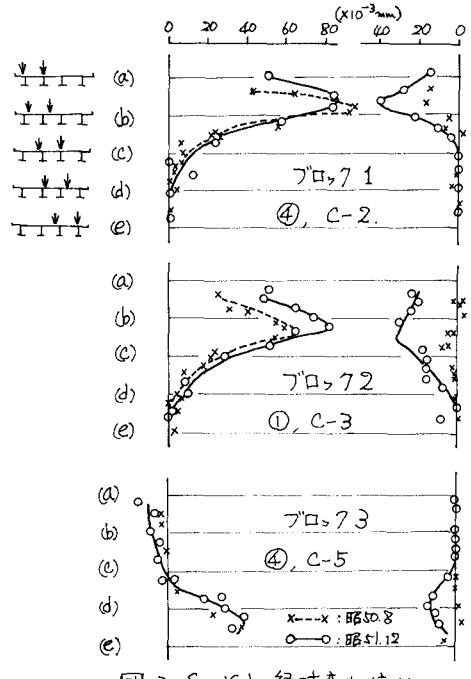


図-3.  $S_H$ ,  $|S_V|$  の経時変化(動的)

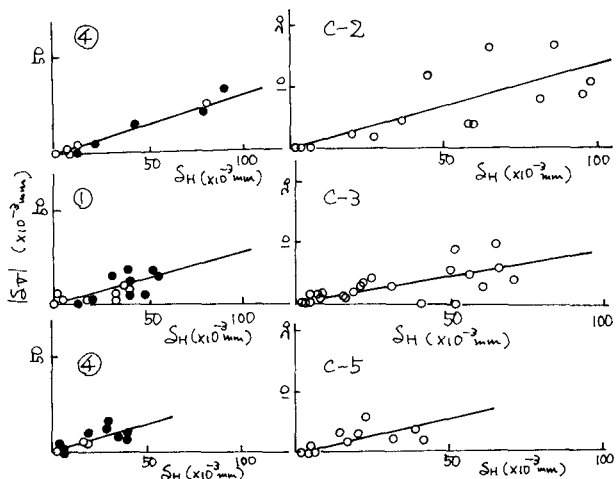


図-4  $S_H$  ~  $|S_V|$  の関係

表-1.  $|S_V|/S_H$  の経時変化

プロット 名	NO	$ S_V /S_H$		備考
		BBS1.2	BBS0.8	
1	①	0.176	—	下流
	②	0.367	—	①④
	③	0.383	—	①
	④	0.344	0.136	②上流
2	①	0.381	0.085	④上流
	②	0.279	—	④
	③	0.299	—	①③
	④	0.235	—	②上流
3	①	0.560	—	—
	②	0.305	—	①③
	③	0.264	—	①③
	④	0.226	0.105	②上流

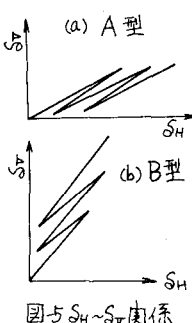


図-5  $S_H$  -  $S_V$  関係

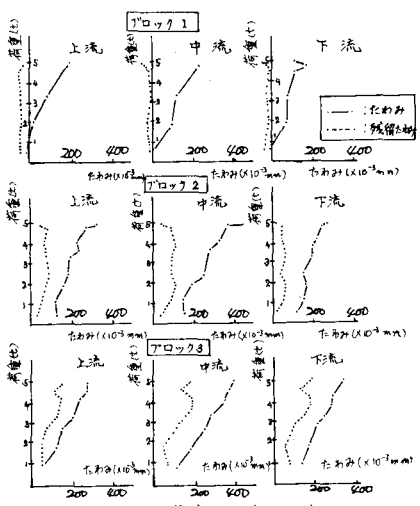


図-6. 各プロットの荷重とたわみの関係